



به نام خدا



عنوان:

Differential Drive Mobile Robot

نام درس:

کنترل مدرن

نام استاد:

دکتر هاجر عطریانفر

مهندس الناز فیروزمند

نگارش :

محمد برابادی

مارال مرداد

محیا حقگو

سجاد قدیری

صفحه	فهرست
۳.....	فاز اول.....
۳.....	معرفی.....
۵.....	بررسی مدل غیر خطی.....
۷.....	خطی سازی سیستم سینماتیکی.....
۹.....	قطری سازی و ماتریس تبدیل.....
۱۰.....	تابع تبدیل و نمودار صفر و قطب.....
۱۱.....	پایداری داخلی.....
۱۲.....	پایداری ورودی خروجی.....
۱۲.....	پاسخ سیستم.....
۱۳.....	تحریک فرکانس خاص.....
۱۵.....	تجزیه کالمن.....
۱۶.....	تحقق مینیمال.....
۱۶.....	فاز دوم.....
۱۶.....	زیر سیستم کاهش ناپذیر.....
۱۶.....	طراحی فیدبک حالت.....
۱۸.....	تحلیل سیستم خطی و غیر خطی با فیدبک حالت.....
۲۰.....	بررسی ناپایداری سیستم غیر خطی با فیدبک حالت.....
۲۲.....	طراحی پیشجبران ساز استاتیکی و دینامیکی.....
۲۵.....	ارتقا مدل شبیه سازی شده سیستم:.....
۲۸.....	فاز سوم.....
۲۸.....	طراحی رویتگر مرتبه کامل و رویتگر مرتبه کاهش یافته.....
۳۱.....	طراحی پیشجبران ساز استاتیکی و دینامیکی با استفاده از حالت های تخمین زده شده توسط.....
۳۲.....	فاز چهارم:.....
۳۲.....	بررسی خطای تخمین حالت در صورت خطا در ماتریس حالت:.....
۳۵.....	جمع بندی.....
۳۶.....	مراجع.....

فاز اول

معرفی

در سال های اخیر مطالعات و استفاده از ربات های متحرک بسیار مد نظر گرفته است. هر ساله با پیشرفت روش های کنترلی در زمینه های تئوری و عملی، کاربرد این ربات ها بیشتر نمایان می شود.

از کاربرد های این ربات می توان استفاده در مسیریابی در بیمارستان ها، فروشگاه های مواد غذایی، نظافت خانگی و ... نام برد. ربات مورد استفاده ما یک ربات ۴ چرخ غیرهولونومیک می باشد.

بیان مفهوم غیرهولونومیک بسیار مفصل و نیازمند دانشی درباره درجه آزادی (degree of freedom) و فضای پیکربندی (configuration space) است. از رابطه گرابلر برای درجه آزادی داریم:

$$dof = \sum (freedom\ of\ bodies) - \#\ of\ independent\ constraints$$

$$dof = m(N - 1 - J) + \sum_{i=1}^J f_i$$

که در آن N تعداد بدنه های شامل زمین، J تعداد مفاصل، m تعداد درجه آزادی تک بدنه و f_i ها درجه آزادی مفصل ها می باشد. توصیف سیستم هایی که درجه آزادی پایینی دارند (مثلا یک) و تعداد اجزای آنها زیاد می باشد بسیار سخت است.

در این مواقع سیستم را به درجات بالاتر اقلیدسی (higher dimensional Euclidean) می برند و با قرار دادن قیدهای حلقه بسته سیستم، آن را راحت تر توصیف می کنند. مثلا برای یک سیستم با درجه آزادی یک که دارای ۴ لینک حرکتی می باشد می توان با افزایش بعد آن به ۴ و قرار دادن ۳ قید سیستم را بهتر توصیف کرد.

اگر این قید ها بعد فضای پیکربندی را کاهش دهند به آنها holonomic و در غیر این صورت به آنها nonholonomic می گویند.

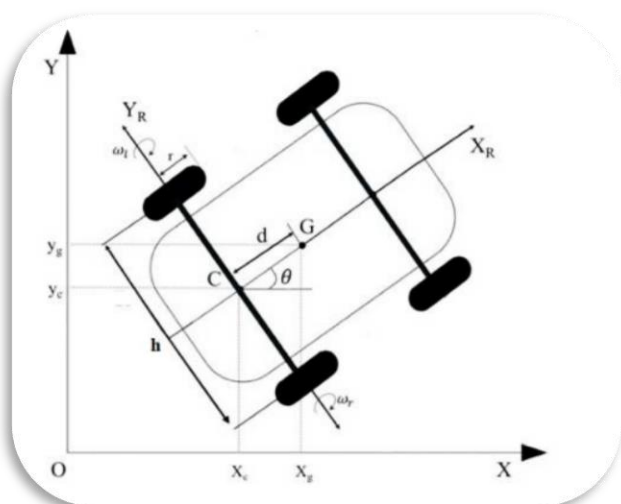
از لحاظ فیزیکی بیانگر آن هست که ربات نمی تواند به طور مستقیم در جهت نشان داده شده در شکل حرکت کند . برای تحقق حرکت در این جهت باید از parallel parking استفاده نماید .



ربات از دو جفت چرخ متصل به موتور استفاده می کند. هر جفت که با یک خط به هم متصل هستند، در جهت یکسان دوران می کنند. نکته ی مهم در این ربات ها این است که چرخ ها در هر جفت باید با سرعت یکسان بچرخند ، در غیر این صورت آن چرخى که سرعتش کمتر است، هرز و ناکارآمد خواهد بود و ربات در مسیر مستقیم حرکت نخواهد کرد.

هدف این پروژه بررسی ساختار دینامیکی و سینماتیکی ربات مذکور و طراحی کنترلر مناسبی برای حرکت ربات به منظور تعقیب یک مسیر دایره ای بوده است.

بررسی مدل غیرخطی



برای بررسی معادلات غیرخطی از معادلات سینماتیکی استفاده شده است. در ادامه به شرح نحوه به دست آمدن معادلات غیرخطی سینماتیکی سیستم می پردازیم. همانطور که در شکل قابل مشاهده است، برای حرکت ربات دو محور مختصات قابل تعریف است که شامل محور مختصات سراسری (X, Y) و محور مختصات محلی ربات می باشد. این دو محور مختصات از طریق یک ماتریس تبدیل دوران به یکدیگر مرتبط می شوند.

در شکل بالا X, Y محور مختصات سراسری و X_R, Y_R محور مختصات محلی ربات است.

$$\dot{x} = \frac{r(\omega_r + \omega_l)}{2} \cos \theta \quad (1)$$

$$\dot{y} = \frac{r(\omega_r + \omega_l)}{2} \sin \theta \quad (2)$$

$$\dot{\theta} = \frac{r(\omega_r - \omega_l)}{h} \quad (3)$$

ω_l و ω_r سرعت های زاویه ای چپ و راست چرخ ها هستند. h فاصله ی مراکز چرخ ها از یکدیگر است. θ زاویه ی مرکز ربات با محور X محور مختصات سراسری می باشد.

برای به دست آوردن معادلات حالت سیستم ورودی های کنترلی سرعت خطی چرخ های چپ و راست در نظر گرفته شده اند.

$$\text{input} = \begin{bmatrix} r\omega_l \\ r\omega_r \end{bmatrix}$$

و همین طور لغزش به صورت زیر مدل می شود:

$$i = 1 - \frac{v}{r\omega}$$

که r و v به ترتیب شعاع چرخ ها و سرعت خطی ربات می باشند.

اگر بخواهیم معادلات ۱ و ۲ و ۳ را به صورت ماتریسی بنویسیم، ماتریس زیر به دست می‌آید:

$$\begin{bmatrix} \dot{x} \\ \dot{y} \\ \dot{\theta} \end{bmatrix} = \begin{bmatrix} \cos \theta & \cdot & \cdot \\ \sin \theta & \cdot & \cdot \\ \cdot & \cdot & 1 \end{bmatrix} \begin{bmatrix} \frac{1-i_l}{2} & \frac{1-i_r}{2} \\ -\frac{1-i_l}{h} & \frac{1-i_r}{h} \end{bmatrix} \begin{bmatrix} r\omega_l \\ r\omega_r \end{bmatrix}$$

برای معادلات بالا ترم خطا تشکیل می‌دهیم. ماتریس خطا به صورت زیر است:

$$\begin{bmatrix} e_x \\ e_y \\ e_\theta \end{bmatrix} = \begin{bmatrix} \cos \theta & \sin \theta & \cdot \\ -\sin \theta & \cos \theta & \cdot \\ \cdot & \cdot & 1 \end{bmatrix} \begin{bmatrix} x^{ref} - x \\ y^{ref} - y \\ \theta^{ref} - \theta \end{bmatrix}$$

برای به دست آوردن معادلات حالت باید از معادلات خطا مشتق گرفته شود.

برای ترم e_x به صورت زیر می‌نویسیم :

$$e_x = \cos \theta (x^{ref} - x) + \sin \theta (y^{ref} - y)$$

$$\dot{e}_x = -\dot{\theta} \sin \theta (x^{ref} - x) + \dot{\theta} \cos \theta (y^{ref} - y) + \cos \theta (\dot{x}^{ref} - \dot{x}) + \sin \theta (\dot{y}^{ref} - \dot{y})$$

با در نظر گرفتن

$$\dot{x}^{ref} = v^{ref} \cos \theta^{ref}$$

$$\dot{x} = v \cos \theta$$

$$\dot{y}^{ref} = v^{ref} \sin \theta^{ref}$$

$$y = v \sin \theta$$

$$e_y = -\sin \theta (x^{ref} - x) + \cos \theta (y^{ref} - y) \quad \text{و}$$

خواهیم داشت :

$$\dot{e}_x = \dot{\theta} e_y + v^{ref} \cos(\theta^{ref} - \theta) - v$$

برای ترم e_y به صورت زیر می‌نویسیم :

$$e_y = -\sin \theta (x^{ref} - x) + \cos \theta (y^{ref} - y)$$

$$\dot{e}_y = -\dot{\theta} \cos \theta (x^{ref} - x) - \dot{\theta} \sin \theta (y^{ref} - y) - \sin \theta (\dot{x}^{ref} - \dot{x}) + \cos \theta (\dot{y}^{ref} - \dot{y})$$

با در نظر گرفتن

$$\dot{x}^{ref} = v^{ref} \cos \theta^{ref}$$

$$\dot{x} = v \cos \theta$$

$$\sin \theta \dot{y}^{ref} = v^{ref}$$

$$y = v \sin \theta$$

$$e_x = \cos \theta (x^{ref} - x) + \sin \theta (y^{ref} - y)$$

خواهیم داشت:

$$\dot{e}_y = -\dot{\theta} e_x + v^{ref} \sin(\theta^{ref} - \theta)$$

برای ترم e_θ به صورت زیر می‌نویسیم:

$$\dot{e}_\theta = \dot{\theta}^{ref} - \dot{\theta}$$

خطی‌سازی سیستم سینماتیکی

برای خطی‌سازی معادلات غیر خطی ارائه شده نقطه تعادل $\begin{bmatrix} e_x \\ e_y \\ e_\theta \end{bmatrix} = \begin{bmatrix} 0 \\ 0 \\ 0 \end{bmatrix}$ در نظر گرفته شده است. در اصل خطا نزدیک صفر در نظر گرفته می‌شود اگر دقیقاً صفر در نظر گرفته شود دیگر نمی‌توان کنترلر طراحی کرد. با جایگذاری نقطه تعادل در معادلات قسمت قبل، معادلات حالت سیستم بر اساس ترم‌های خطا به صورت زیر درمی‌آید:

$$\begin{bmatrix} \dot{e}_x \\ \dot{e}_y \\ \dot{e}_\theta \end{bmatrix} = \begin{bmatrix} \dot{\theta}^{ref} & \cdot & \cdot \\ -\dot{\theta}^{ref} & \cdot & v^{ref}(t) \\ \cdot & \cdot & \cdot \end{bmatrix} \begin{bmatrix} e_x \\ e_y \\ e_\theta \end{bmatrix} + \begin{bmatrix} \frac{1-i_l}{2} & \frac{1-i_r}{2} \\ \frac{1-i_l}{h} & -\frac{1-i_r}{h} \end{bmatrix} \begin{bmatrix} rw_l^{fb} \\ rw_r^{fb} \end{bmatrix}$$

برای به دست آوردن ماتریس A باید مقادیر $\dot{\theta}^{ref}$ و v^{ref} را محاسبه کنیم. برای محاسبه این دو پارامتر از روابط موجود در فصل ۲ کتاب *Gonzalez* استفاده می‌کنیم.

داریم:

$$v^{ref}(t) = \sqrt{\dot{x}^{ref}(t)^2 + \dot{y}^{ref}(t)^2}$$

$$\dot{\theta}^{ref} = \frac{\dot{x}^{ref}(t)\ddot{y}^{ref}(t) - \dot{y}^{ref}(t)\ddot{x}^{ref}(t)}{\dot{x}^{ref}(t)^2 + \dot{y}^{ref}(t)^2}$$

چون حرکت ربات در مسیر دایره‌ای به مرکز ربات و شعاع ۳ متر مد نظر است، x^{ref} و y^{ref} به صورت زیر در نظر گرفته شده است.

$$x^{ref} = 3 \cos\left(\frac{\pi}{16}t\right) \quad \text{و} \quad y^{ref} = -3 \sin\left(\frac{\pi}{16}t\right)$$

در این صورت خواهیم داشت :

$$\dot{x}^{ref} = -\frac{3\pi}{16} \sin\left(\frac{\pi}{16}t\right) \quad \text{و} \quad \ddot{x}^{ref} = -3\left(\frac{\pi}{16}\right)^2 \cos\left(\frac{\pi}{16}t\right)$$

$$\dot{y}^{ref} = \frac{-3\pi}{16} \cos\left(\frac{\pi}{16}t\right) \quad \text{و} \quad \ddot{y}^{ref} = 3\left(\frac{\pi}{16}\right)^2 \sin\left(\frac{\pi}{16}t\right)$$

$$v^{ref}(t) = \sqrt{\left(\frac{3\pi}{16}\right)^2 \sin^2\left(\frac{\pi}{16}t\right) + \left(\frac{3\pi}{16}\right)^2 \cos^2\left(\frac{\pi}{16}t\right)} = \frac{3\pi}{16}$$

$$\dot{\theta}^{ref}(t) = \left(\frac{3}{3\pi}\right)^2 \left[\left(-9 \left(\frac{\pi}{16}\right)^2 \sin\left(\frac{\pi}{16}t\right) \right) - \left(9 \left(\frac{\pi}{16}\right)^2 \cos\left(\frac{\pi}{16}t\right) \right) \right] = -\frac{\pi}{16}$$

بدین ترتیب معادلات حالت سیستم با استفاده از مقادیر به دست آمده $v^{ref}(t)$ و $\dot{\theta}^{ref}$ در نظر گرفتن $h = 0.15\text{m}$ و $i_l = i_r = 0$ به شکل زیر به دست آمده‌اند.

$$\begin{bmatrix} \dot{e}_x \\ \dot{e}_y \\ \dot{e}_\theta \end{bmatrix} = \begin{bmatrix} 0 & -\frac{\pi}{16} & 0 \\ \frac{\pi}{16} & 0 & \frac{3\pi}{16} \\ 0 & 0 & 0 \end{bmatrix} \begin{bmatrix} e_x \\ e_y \\ e_\theta \end{bmatrix} + \begin{bmatrix} 0.5 & 0.5 \\ 0 & 0 \\ 6.66 & -6.66 \end{bmatrix} \begin{bmatrix} r w_l^{fb} \\ r w_r^{fb} \end{bmatrix}$$

پس برای ماتریس حالت، ورودی و خروجی داریم:

$$A = \begin{bmatrix} 0 & -\frac{\pi}{16} & 0 \\ \frac{\pi}{16} & 0 & \frac{3\pi}{16} \\ 0 & 0 & 0 \end{bmatrix}, \quad B = \begin{bmatrix} \frac{1}{2} & \frac{1}{2} \\ 0 & 0 \\ \frac{1}{0.15} & -\frac{1}{0.15} \end{bmatrix}, \quad c = \begin{bmatrix} 1 & 0 & 0 \\ 0 & 1 & 0 \\ 0 & 0 & 1 \end{bmatrix}$$

طبق نتایج شبیه سازی مقاله‌ای که از آن در این پروژه استفاده شده است محدوده معتبر پارامترها برای سیستم خطی سازی شده، به صورت زیر در نظر گرفته شده است:

$$-2 \cdot \text{rad/s} \leq w_l \text{ و } w_r \leq 2 \cdot \text{rad/s}$$

$$-0.5m \leq e_x \text{ و } e_y \leq 0.5m$$

$$-0.5\text{rad} \leq e_\theta \leq 0.5\text{rad}$$

قطری سازی و ماتریس تبدیل

برای محاسبه فرم قطری بلوکی از دستور Jordan در متلب استفاده می‌کنیم:

```
J = 3x3 complex
0.0000 + 0.0000i    0.0000 + 0.0000i    0.0000 + 0.0000i
0.0000 + 0.0000i    0.0000 - 0.1963i    0.0000 + 0.0000i
0.0000 + 0.0000i    0.0000 + 0.0000i    0.0000 + 0.1963i
```

همچنین ماتریس تبدیل تشابهی که استفاده شده است را با همان دستور Jordan بدست می‌آوریم:

```
T1 = 3x3 complex
-3.0000 + 0.0000i    0.0000 - 1.0000i    0.0000 + 1.0000i
0.0000 + 0.0000i    1.0000 + 0.0000i    1.0000 + 0.0000i
1.0000 + 0.0000i    0.0000 + 0.0000i    0.0000 + 0.0000i
```

تابع تبدیل و نمودار صفر و قطب

تابع تبدیل سیستم بصورت زیر است :

$$G = \begin{bmatrix} \frac{128s}{256s^2 + \pi^2} - \frac{20\pi^2}{256s^2 + \pi^2 s} & \frac{128s}{256s^2 + \pi^2} + \frac{20\pi^2}{256s^2 + \pi^2 s} \\ \frac{328\pi}{256s^2 + \pi^2} & -\frac{312\pi}{256s^2 + \pi^2} \\ \frac{20}{3s} & -\frac{20}{3s} \end{bmatrix}$$

حال برای یافتن قطبها و صفرهای انتقال سیستم ابتدا ماینورهای مرتبه اول و دوم سیستم نوشته شده است و سپس چند جمله‌ای مشخصه ماتریس تبدیل به دست آمده است.

ماینورهای مرتبه اول:

$$\frac{128s^2 + 20\pi^2}{256s^3 + \pi^2 s}, \frac{128s^2 - 20\pi^2}{256s^3 + \pi^2 s}, \frac{328\pi}{256s^2 + \pi^2}, \frac{-312\pi}{256s^2 + \pi^2}, \frac{20}{3s}, \frac{-20}{3s}$$

ماینورهای مرتبه دوم:

$$\frac{-320\pi}{256s^3 + \pi^2 s}, \frac{5120}{3(256s^2 + \pi^2)}, \frac{-320}{3(256s^3 + \pi^2 s)}$$

معادله مشخصه :

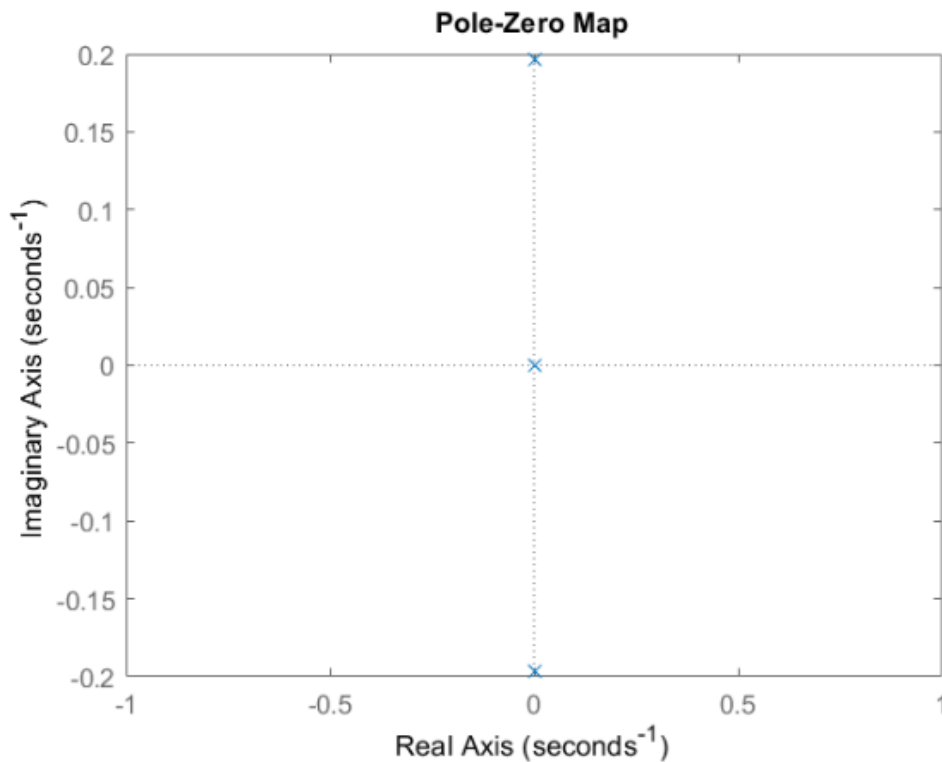
$$p(s) = 3(256s^3 + \pi^2 s)$$

قطبهای سیستم به شکل زیر می‌باشد:

$$p_1 = 0, p_2 = \frac{\pi}{16}j, p_3 = -\frac{\pi}{16}j$$

برای یافتن صفرهای انتقال لازم است رتبه نرمال سیستم را بدانیم که رتبه نرمال ماتریس تبدیل این سیستم ۲ است. ماینورهای مرتبه ۲ ماتریس تبدیل را در نظر گرفته و مخرج تمامی آنها را معادله مشخصه قرار می‌دهیم در این صورت مشاهده می‌کنیم صورت کسرهای این ماینورها هیچ ب.م.م ای ندارد در نتیجه سیستم صفر انتقال ندارد.

نمودار صفر و قطب سیستم:



پایداری داخلی

برای بررسی پایداری داخلی سیستم لازم است که به رفتار داخلی سیستم و متغیرهای حالت توجه شود. برای تحلیل پایداری داخلی سیستم، در این پروژه از روش اول لیاپانوف استفاده شده است به این صورت که ابتدا نقطه تعادل سیستم غیر خطی به دست آمده است و سپس سیستم غیر خطی حول نقطه تعادلش خطی سازی شده است. که توضیح مفصل این دو بخش در قسمت‌های قبل آمده است. حال باید پایداری سیستم خطی سازی شده (حول نقطه تعادل) بررسی و تحلیل شود برای اینکار با در نظر گرفتن ورودی ۰، اثر شرایط اولیه را روی پاسخ حالت سیستم می‌بینیم. برای اینکار لازم است مقادیر ویژه ماتریس حالت سیستم خطی سازی شده بررسی شوند.

مقادیر ویژه ماتریس حالت:

$$\lambda_1 = 0, \quad \lambda_2 = +j0.1963, \quad \lambda_3 = -j0.1963$$

پایداری داخلی به دو بخش پایداری مجانی و پایداری به مفهوم لیاپانف تقسیم می‌شود.

در پایداری مجانبی لازم است قسمت‌های حقیقی تمامی مقادیر ویژه ماتریس حالت اکیدا منفی باشند چون در سیستم مورد مطالعه در این پروژه مقادیر ویژه روی محور موهومی قرار دارند سیستم پایداری مجانبی ندارد.

در مورد پایداری به مفهوم لیاپانف یا پایداری مرزی باید در نظر گرفت که سیستم نباید مقادیر ویژه ای با قسمت حقیقی مثبت داشته باشد و همچنین مقادیر ویژه روی محور در صورتی که تکراری بودند، تکرر جبری و هندسی آن‌ها برابر باشد. که هر دو شرط در این سیستم صدق می‌کند پس می‌توان گفت سیستم پایداری مرزی دارد.

در نهایت سیستم پایداری داخلی از نوع مرزی دارد.

پایداری ورودی-خروجی

برای بررسی پایداری ورودی-خروجی باید به قطب‌های ماتریس تبدیل توجه شود. در صورتی که تمامی قطب‌ها دارای بخش حقیقی اکیدا منفی باشند سیستم دارای پایداری ورودی-خروجی است.

قطب‌های ماتریس تبدیل سیستم:

$$p_1 = 0, \quad p_2 = \frac{\pi}{16}j, \quad p_3 = -\frac{\pi}{16}j$$

همان‌طور که قابل مشاهده است قطب‌ها روی محور موهومی هستند پس سیستم دارای پایداری ورودی-خروجی نمی‌باشد.

در بخش قبل دیدیم که سیستم دارای پایداری داخلی بود و در این بخش دیدیم که سیستم پایداری ورودی-خروجی نداشت پس می‌توان گفت اگر سیستم پایدار داخلی باشد نمی‌شود نتیجه گرفت که لزوماً پایدار ورودی-خروجی است. فقط در صورتی می‌توان این نتیجه را گرفت که سیستم پایدار داخلی از نوع مجانبی باشد.

پاسخ سیستم

ماتریس انتقال حالت سیستم با دستور expm در متلب به صورت زیر می‌باشد:

$$e^{At} = \begin{bmatrix} \frac{e^{-\frac{\pi t j}{16}}}{2} + \frac{e^{\frac{\pi t j}{16}}}{2} & \frac{-e^{-\frac{\pi t j}{16}} j}{2} + \frac{e^{\frac{\pi t j}{16}} j}{2} & \frac{3e^{-\frac{\pi t j}{16}}}{2} + \frac{3e^{\frac{\pi t j}{16}}}{2} - 3 \\ \frac{e^{-\frac{\pi t j}{16}} j}{2} - \frac{e^{\frac{\pi t j}{16}} j}{2} & \frac{e^{-\frac{\pi t j}{16}}}{2} + \frac{e^{\frac{\pi t j}{16}}}{2} & \frac{3e^{-\frac{\pi t j}{16}} j}{2} - \frac{3e^{\frac{\pi t j}{16}} j}{2} \\ . & . & 1 \end{bmatrix}$$

پاسخ حالت سیستم به ازای شرایط اولیه $x_0 = \begin{bmatrix} -0.1 \\ -0.2 \\ -0.2 \end{bmatrix}$ با استفاده از فرمول $x = e^{At}x_0$ به شکل زیر به دست آمده است:

$$x(t) = \begin{bmatrix} \frac{3}{5} + e^{-\frac{\pi t j}{16}} \left(\frac{-7}{20} + \frac{1}{10} j \right) + e^{\frac{\pi t j}{16}} \left(\frac{-7}{20} - \frac{1}{10} j \right) \\ e^{-\frac{\pi t j}{16}} \left(\frac{-1}{10} - \frac{7}{20} j \right) + e^{\frac{\pi t j}{16}} \left(\frac{-1}{10} + \frac{7}{20} j \right) \\ -\frac{1}{5} \end{bmatrix}$$

پاسخ خروجی سیستم به ازای شرایط اولیه قبلی و ورودی پله واحد حاصل جمع پاسخ ورودی صفر و پاسخ شرایط اولیه صفر است.

پاسخ شرایط اولیه صفر سیستم:

$$\begin{bmatrix} \delta(t) \\ \frac{\pi}{16} \end{bmatrix}$$

پاسخ کامل خروجی به شکل زیر می باشد:

$$y(t) = \begin{bmatrix} \delta(t) + \frac{3}{5} + e^{-\frac{\pi t j}{16}} \left(\frac{-7}{20} + \frac{1}{10} j \right) + e^{\frac{\pi t j}{16}} \left(\frac{-7}{20} - \frac{1}{10} j \right) \\ -\frac{\pi}{16} + e^{-\frac{\pi t j}{16}} \left(\frac{-1}{10} - \frac{7}{20} j \right) + e^{\frac{\pi t j}{16}} \left(\frac{-1}{10} + \frac{7}{20} j \right) \\ -\frac{1}{5} \end{bmatrix}$$

تحریک فرکانس خاص

برای اینکه مود خاصی در خروجی تحریک نشود کافی است شرایط اولیه را به طوری تعیین کنیم که ترکیب خطی از بردار ویژه های متناسب با مقدار ویژه های مود های دیگر سیستم باشد.

در مراحل قبل با استفاده از دستور Jordan علاوه بر فرم جردن ماتریس حالت سیستم ، ماتریس تبدیل تشابهی که ماتریس اصلی ما را به فرم جردن درمی آورد نیز بدست آمد که ستون های آن همان بردار ویژه های ماتریس حالت است .

T1 = 3×3 complex

	1	2	3
1	-3.0000 + 0.0000i	0.0000 - 1.0000i	0.0000 + 1.0000i
2	0.0000 + 0.0000i	1.0000 + 0.0000i	1.0000 + 0.0000i
3	1.0000 + 0.0000i	0.0000 + 0.0000i	0.0000 + 0.0000i

J = 3×3 complex

	1	2	3
1	0.0000 + 0.0000i	0.0000 + 0.0000i	0.0000 + 0.0000i
2	0.0000 + 0.0000i	0.0000 - 0.1963i	0.0000 + 0.0000i
3	0.0000 + 0.0000i	0.0000 + 0.0000i	0.0000 + 0.1963i

حال شرایط اولیه را ترکیب خطی ستون دوم و سوم در نظر می‌گیریم. با این فرض مقدار ویژه صفر

$\lambda_1 = 0$ در خروجی تحریک نمی‌شود. برای اطمینان از متلب استفاده می‌کنیم:

$$x_1 = \left(0 \times \begin{bmatrix} -3 \\ 0 \\ 1 \end{bmatrix} \right) + \left(1 \times \begin{bmatrix} 0 - 1j \\ 1 + 0j \\ 0 \end{bmatrix} \right) + \left(1 \times \begin{bmatrix} 0 + 1j \\ 1 + 0j \\ 0 \end{bmatrix} \right) = \begin{bmatrix} 0 \\ 2 \\ 0 \end{bmatrix}$$

$$x_1(t0) = C_e * e^{At} * x_1 = \begin{bmatrix} -e^{-\frac{\pi t j}{16}} j + e^{\frac{\pi t j}{16}} j \\ e^{-\frac{\pi t j}{16}} + e^{\frac{\pi t j}{16}} \\ 0 \end{bmatrix}$$

تجزیه کالمن

ابتدا برای بررسی کنترل پذیری و رویت پذیری سیستم ماتریس‌های کنترل پذیری و رویت پذیری سیستم تشکیل داده شده است و رنک آن‌ها محاسبه شده است.

$$C_o = 3 \times 6$$

	1	2	3	4	5	6
1	0.5000	0.5000	0	0	-0.7903	0.7518
2	0	0	4.0252	-3.8288	0	0
3	6.6667	-6.6667	0	0	0	0

$$C_o = \begin{bmatrix} 0.5 & 0.5 & 0 & 0 & -0.7903 & 0.7518 \\ 0 & 0 & 4.0252 & -3.8288 & 0 & 0 \\ 6.6667 & -6.6667 & 0 & 0 & 0 & 0 \end{bmatrix}$$

$$O_b = \text{obsv}(A_e, C_e)$$

$$O_b = 9 \times 3$$

1.0000	0	0
0	1.0000	0
0	0	1.0000
0	-0.1963	0
0.1963	0	0.5890
0	0	0
-0.0386	0	-0.1157
0	-0.0386	0
0	0	0

$$O_b = \begin{bmatrix} 1 & 0 & 0 \\ 0 & 1 & 0 \\ 0 & 0 & 1 \\ 0 & -0.1963 & 0 \\ 0.1963 & 0 & 0.5890 \\ 0 & 0 & 0 \\ -0.0386 & 0 & -0.1157 \\ 0 & -0.0386 & 0 \\ 0 & 0 & 0 \end{bmatrix}$$

همان طور که در شکل بالا مشخص شده است رنک سطری ماتریس کنترل پذیری و رنک ستونی ماتریس رویت پذیری سه (کامل) می‌باشد پس سیستم هم کنترل پذیر و رویت پذیر است.

پس سیستم فقط دارای یک زیر سیستم رویت پذیر و کنترل پذیر به شکل زیر می‌باشد.

$$Abar = \begin{bmatrix} 0 & -0.1963 & -0.5890 \\ 0.1963 & 0 & 0 \\ 0 & 0 & 0 \end{bmatrix} \quad Bbar = \begin{bmatrix} 0 & 0 \\ -0.5 & -0.5 \\ -6.6667 & 6.6667 \end{bmatrix}$$

$$Cbar = \begin{bmatrix} \cdot & -1 & \cdot \\ 1 & \cdot & \cdot \\ \cdot & \cdot & -1 \end{bmatrix}$$

تحقق مینیمال

با توجه به کامل بودن رنک ماتریس های کنترل پذیری و رویت پذیری، همه ی مود های سیستم کنترل پذیر و رویت پذیر می باشند. می دانیم در تابع تبدیل کل سیستم مودهایی را خواهیم دید که هم کنترل پذیر و هم رویت باشند. اگر سیستم قابل تبدیل به زیر سیستم های کنترل پذیر-رویت پذیر، کنترل ناپذیر-رویت پذیر، کنترل پذیر-رویت ناپذیر و کنترل ناپذیر-رویت ناپذیر باشد، تابع تبدیل کل سیستم معادل با تابع تبدیل زیر سیستم کنترل پذیر-رویت پذیر است. از آنجایی که سیستم ما فقط زیر سیستم کنترل پذیر-رویت پذیر دارد، تحقق فضای حالت برای این تابع تبدیل مینیمال می باشد.

فاز دوم

زیر سیستم کاهش ناپذیر

سیستم مورد مطالعه در این پروژه همان طور که در بخش قبل بررسی شد مینیمال است یعنی خودش کاهش ناپذیر است.

طراحی فیدبک حالت

شرایط مطلوب در نظر گرفته شده به شرح زیر می باشد

$$P.O < 4\%$$

$$Ts < 0.5s$$

با توجه به روابط اورشوت و زمان نشست قطب های مطلوب را به دست می آوریم.

$$P.O = 100e^{\frac{-\pi\zeta}{\sqrt{1-\zeta^2}}} \rightarrow \zeta = 0.4$$

$$Ts = \frac{4}{\zeta\omega_n} = 2 \rightarrow \omega_n = 5$$

$$desired\ poles = -1 \pm j4.899$$

تا اینجا برای یافتن قطب‌های مطلوب سیستم را با سیستم درجه دو استاندارد تقریب زدیم تا بتوانیم از روابط زمان نشست و اورشوت سیستم درجه دو استاندارد استفاده کنیم. حال باید یک قطب را با نسبت زیادی نسبت به ۳۰- دورتر از محور $j\omega$ در نظر گرفت تا بتوان معادله مشخصه مطلوب را محاسبه کرد.

معادله مشخصه مطلوب به شکل زیر می‌شود:

$$\alpha(s) = s^3 + 32s^2 + 85s + 750$$

برای دست یابی به ماتریس K لازم است که دو ماتریس F و \bar{K} را به طوری تعیین کنیم که زوج (F, \bar{K}) روئت پذیر باشند.

ماتریس F و \bar{K} به شکل زیر در نظر گرفته شده‌اند:

$$F = \begin{bmatrix} -1 & 4.899 & 0 \\ -4.899 & -1 & 0 \\ 0 & 0 & -30 \end{bmatrix} \quad \bar{K} = \begin{bmatrix} 1 & 0 & 0 \\ 0 & 1 & 0 \\ 0 & 0 & 1 \end{bmatrix}$$

$$\text{rank}(\text{obsv}(F, K)) = 3$$

رنگ ماتریس روئت پذیری کامل است پس ماتریس‌ها به درستی انتخاب شده‌اند.

حال برای به دست آوردن ماتریس K معادله لیاپانوف $AP - PF = B\bar{K}$ باید حل شود.

$$P = \text{lyap}(A, -F, -B\bar{K}) = \begin{bmatrix} 0.0236 & 0.1032 & 0.0167 \\ 0.1483 & -0.0633 & 0.0043 \\ 0.2667 & 1.3064 & -0.2222 \end{bmatrix}$$

ماتریس نهایی K از رابطه ی زیر به دست آمده است.

$$K = \bar{K}P^{-1} = \begin{bmatrix} 1.1756 & 6.1844 & 0.2067 \\ 29.1124 & -0.4580 & -2.3217 \end{bmatrix}$$

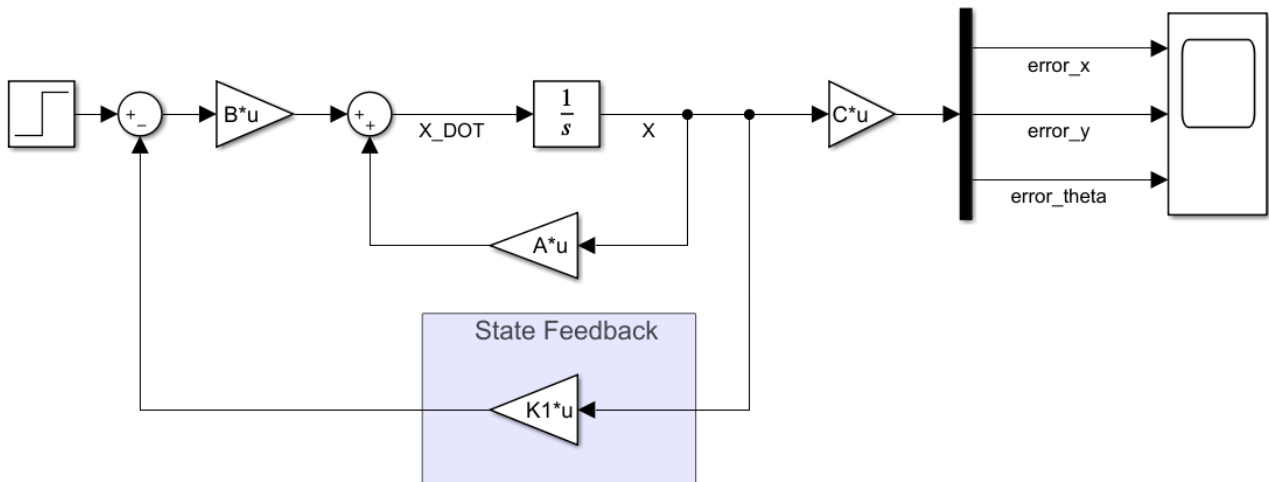
همچنین در متلب با استفاده از دستور `place`، K به شکل زیر به دست آمده است.

$$K = \begin{bmatrix} 26.6831 & 14.2458 & -8.0537 \\ 27.9043 & 8.4588 & -8.7596 \end{bmatrix}$$

با مقایسه نتایج شبیه سازی با دو بهره فیدبک حالت به دست آمده در بالا، دومی نتایج بهتری داشت و در نتیجه برای ادامه مراحل از آن استفاده شده است.

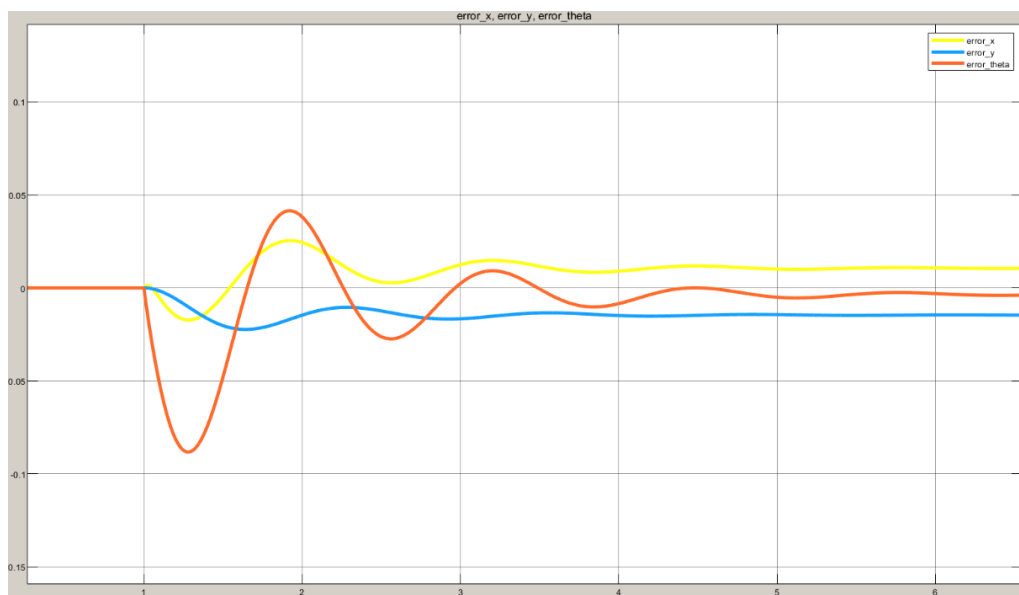
تحلیل سیستم خطی و غیرخطی با فیدبک حالت

برای شبیه سازی سیستم خطی با فیدبک حالت طراحی شده در قسمت قبل سیستم با فیدبک حالت به شکل زیر در سیمولینک پیاده سازی شده است.



انتظار این بود که با جابجایی قطب‌های حلقه بسته در مکان‌های مطلوب، حالت‌ها به پایداری برسند.

نتیجه شبیه سازی:



حال فیدبک حالت طراحی شده برای سیستم خطی را بر روی سیستم غیرخطی امتحان می‌کنیم.

برای این منظور سیستم غیرخطی را به صورت زیر طراحی کردیم:

```

function e_dot = fcn(e,U)
e_dot = [0.1;-0.1;0.05];
theta_dot_ref = -(pi/16) ;
v_ref = 3*(pi/16) ;
e_dot(1)=(theta_dot_ref - U(1))*e(2) + v_ref*cos(e(3))+(U(2) - v_ref);
e_dot(2)=(U(1)-theta_dot_ref)*e(1) + v_ref*sin(e(3));
e_dot(3)= U(1);

```

که این سیستم از معادلات غیرخطی زیر بدست آمده‌اند:

$$\dot{e}_x = \dot{\theta} e_y + v^{ref} \cos(\theta^{ref} - \theta) - v$$

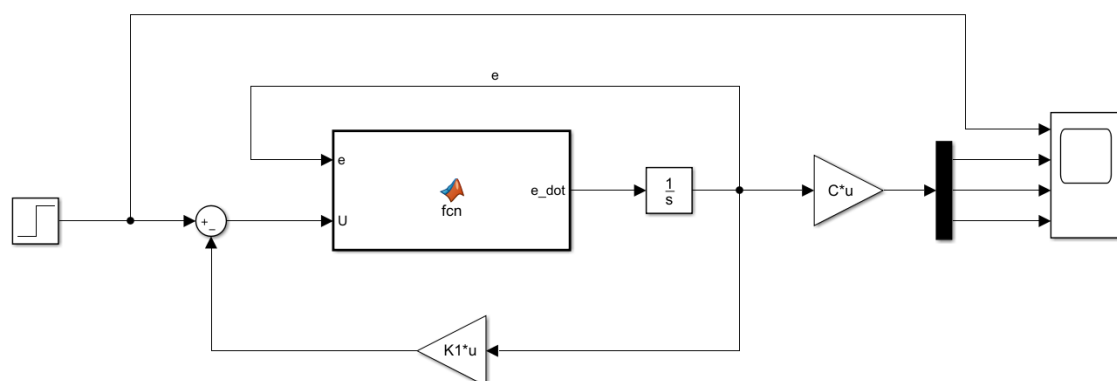
$$\dot{e}_y = -\dot{\theta} e_x + v^{ref} \sin(\theta^{ref} - \theta)$$

$$\dot{e}_\theta = \dot{\theta}^{ref} - \dot{\theta}$$

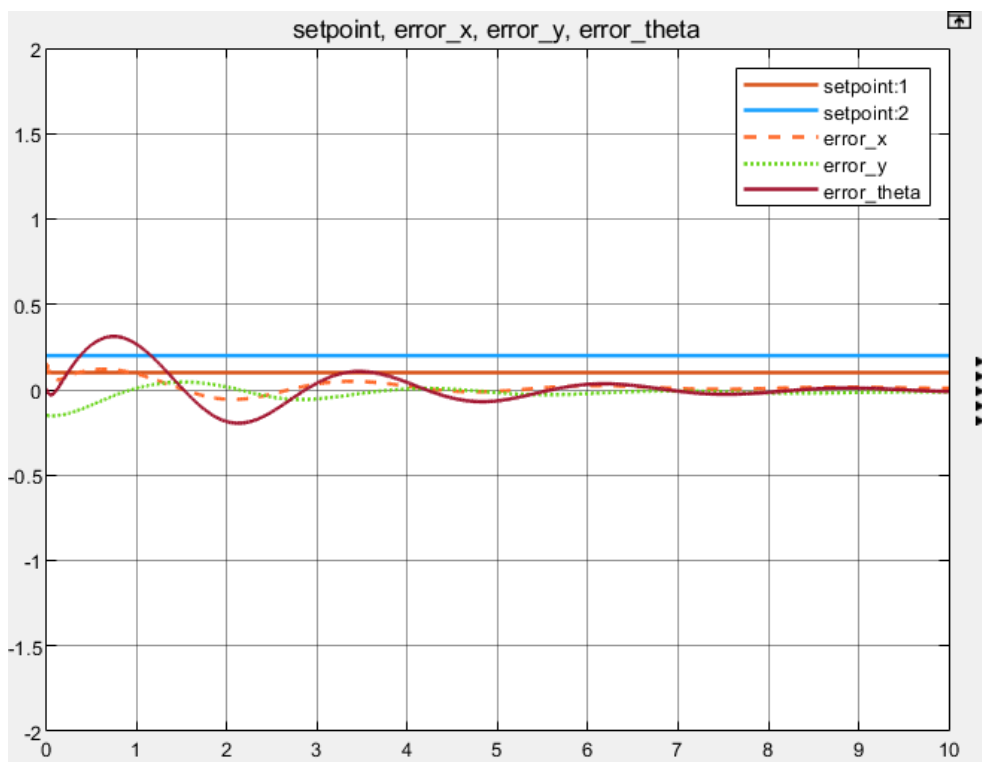
ورودی سیستم، سرعت زاویه‌ای چرخ‌های چپ و راست هستند که توسط ماتریس تبدیل زیر از سرعت‌های خطی و زاویه‌ای سیستم به دست آمده‌اند.

$$\begin{bmatrix} \omega_f \\ V_f \end{bmatrix} = \begin{bmatrix} r/h & -r/h \\ r/2 & r/2 \end{bmatrix} \begin{bmatrix} \omega_l \\ \omega_r \end{bmatrix}$$

فیدبک حالت طراحی شده در قسمت قبل به شکل به سیستم غیرخطی اعمال شده است.



خروجی سیستم غیر خطی با فیدبک حالت و با شرایط اولیه به صورت زیر می‌باشد:



با در نظر گرفتن شرایط اولیه $[0.15; -0.15; 0]$ که در محدوده مجاز برای متغیرهای حالت می باشد نمودار خطاها به صورت بالا درآمده است. همان طور که قابل مشاهده است مقدار خطا در مقایسه با شعاع دایره که ۳ متر می باشد بسیار ناچیز است و به صفر میل می کند.

بررسی ناپایداری سیستم غیرخطی با فیدبک حالت

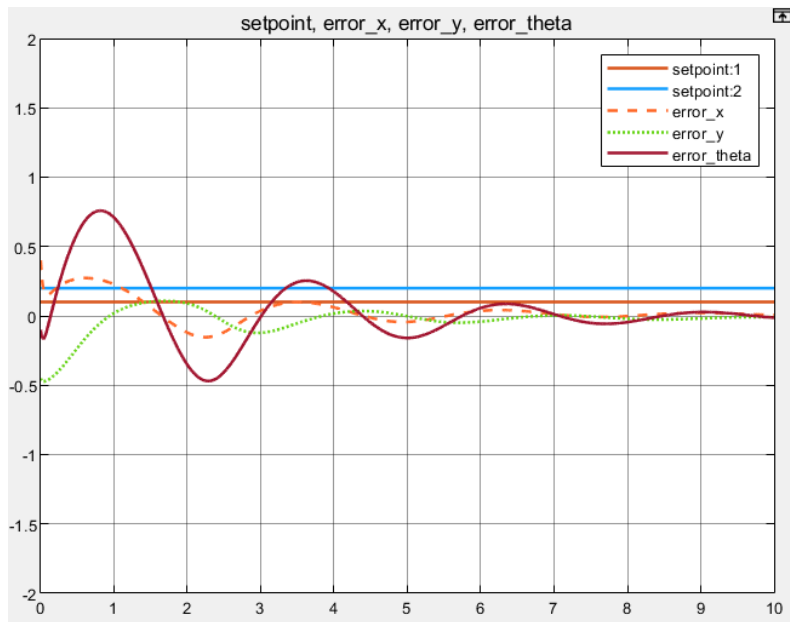
با در نظر گرفتن محدوده مجازی که مقاله مرجع بیان کرده است، محدوده جذب برای سیستم مورد مطالعه به شرح زیر می باشد

$$-20 \text{ rad/s} \leq w_l \text{ و } w_r \leq 20 \text{ rad/s}$$

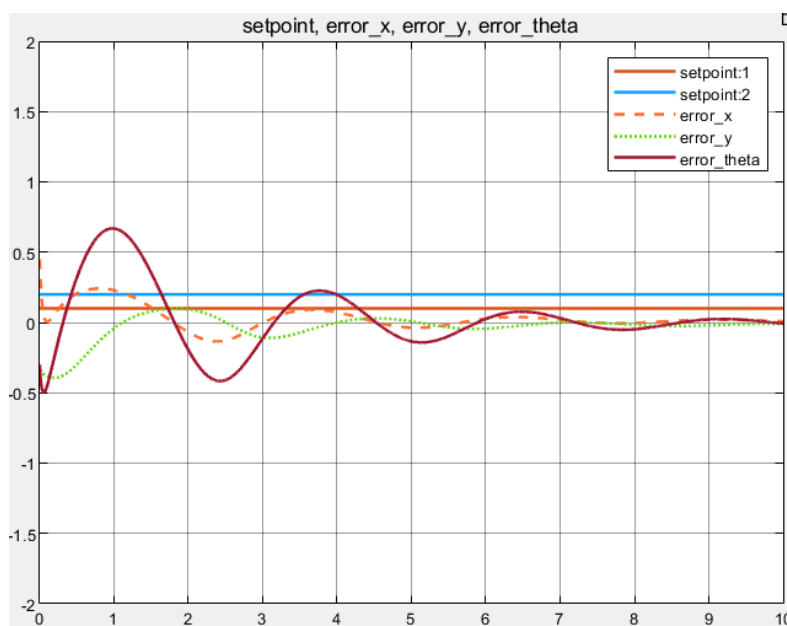
$$-0.5m \leq e_x \text{ و } e_y \leq 0.5m$$

$$-0.5\text{rad} \leq e_\theta \leq 0.5\text{rad}$$

با توجه به محدوده بالا چند شرط اولیه بررسی شده است:



شرایط اولیه در نظر گرفته شده $[0.4; -0.45; -0.1]$



شرایط اولیه در نظر گرفته شده $[0.45; -0.3; 0.3]$

با اعمال شرایط اولیه مختلف دریافتیم که به ازای برخی شرایط اولیه که در محدوده تعیین شده توسط مقاله بود، سیستم ناپایدار شد در نتیجه برای حل مشکل ناپایداری محدوده جذب باید کوچکتر انتخاب شود.

$$-0.25m \leq e_x \text{ و } e_y \leq 0.25m$$

$$-0.2rad \leq e_\theta \leq 0.2rad$$

طراحی پیش جبران ساز استاتیکی و دینامیکی

برای دنبال کردن ورودی مرجع لازم است یک جبران ساز استاتیکی در سیستم قرار دهیم.

این جبران ساز به صورت زیر محاسبه می شود:

$$StaticGain = (C * (A - B * K)^{-1} * B)^{-1}$$

همان طور که مشاهده می شود مقدار این گین همان مقدار تابع تبدیل حلقه بسته سیستم در صفر می باشد.

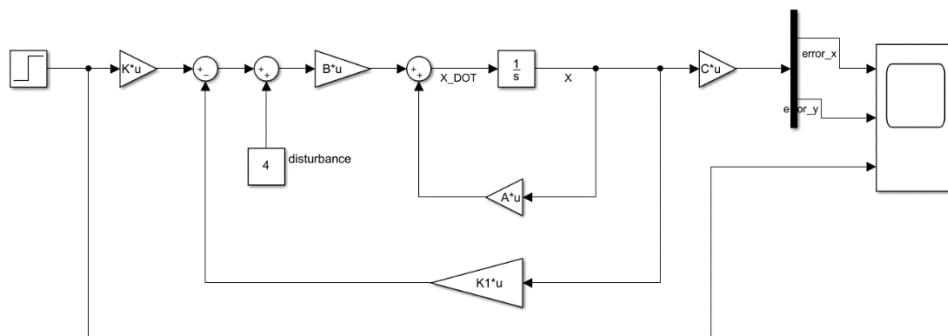
این گین در متلب به صورت زیر محاسبه شده است:

```
%% static Controller
syms s;
G_closeLoop = inv(C*(-(A-B*K1)^-1)*B);
```

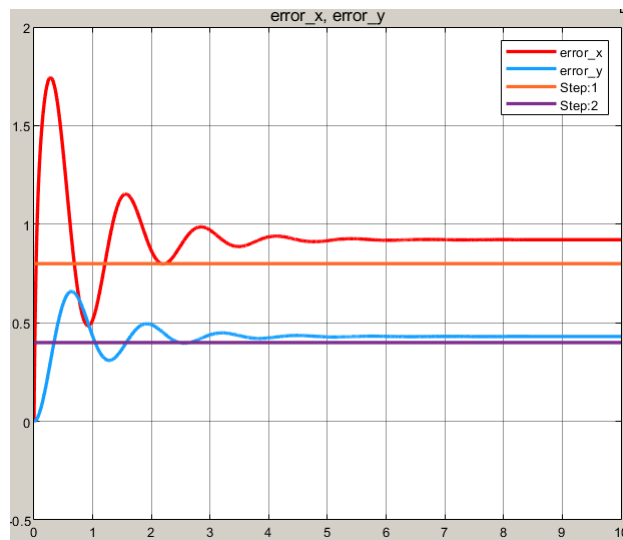
گین به دست آمده به صورت زیر است:

$$G - Closeloop = \begin{bmatrix} 29.25 & 15.5973 \\ 30.75 & 9.8677 \end{bmatrix}$$

برای شبیه سازی، مدار زیر در سیمولینک بسته شده است:



خروجی این سیستم به ازای ورودی مرجع پله و اغتشاش ثابت:



در شکل مشاهده می‌شود که پاسخ خطای حالت دائم دارد و این به دلیل نبود ترم انتگرال گیر می‌باشد.

برای کم کردن خطای حالت دائم، از یک جبران‌ساز دینامیکی استفاده می‌کنیم.

با قرار دادن این گین دو حالت جدید به حالت‌های سیستم ما اضافه می‌شود، ماتریس حالت و ماتریس ورودی جدید به صورت زیر است:

$$\bar{A} = \begin{bmatrix} A & \cdot \\ -C & \cdot \end{bmatrix}$$

$$\bar{B} = \begin{bmatrix} B \\ \cdot \end{bmatrix}$$

برای به دست آوردن گین‌های پس‌خور و پیش‌خور ابتدا سیستم را با استفاده از ماتریس حالت و ماتریس ورودی جدید تشکیل داده، قطب‌های مطلوب آن را محاسبه کرده سپس با استفاده از دستور *place* در متلب گین‌های پس‌خور و پیش‌خور را محاسبه کرده ایم.

```
A_bar = [0 -pi/16 0 0 0; pi/16 0 3*pi/16 0 0; 0 0 0 0 0; 1 0 0 0 0; 0 1 0 0 0];
B_bar = [1/2 1/2; 0 0; 1/0.15 -1/0.15; 0 0; 0 0];
C_bar = [1 0 0 0 0; 0 1 0 0 0];
D_bar = [0 0 0 0 0; 0 0 0 0 0];
K_bar = place(A_bar, B_bar, [-60 -55 -70 -1+4.899*i -1-4.899*i]);
Ka = K_bar(:,4:5);
Kf = K_bar(:,1:3);
```

گین‌های به دست آمده به صورت زیر است:

$K_f =$

$1.0e+03 *$

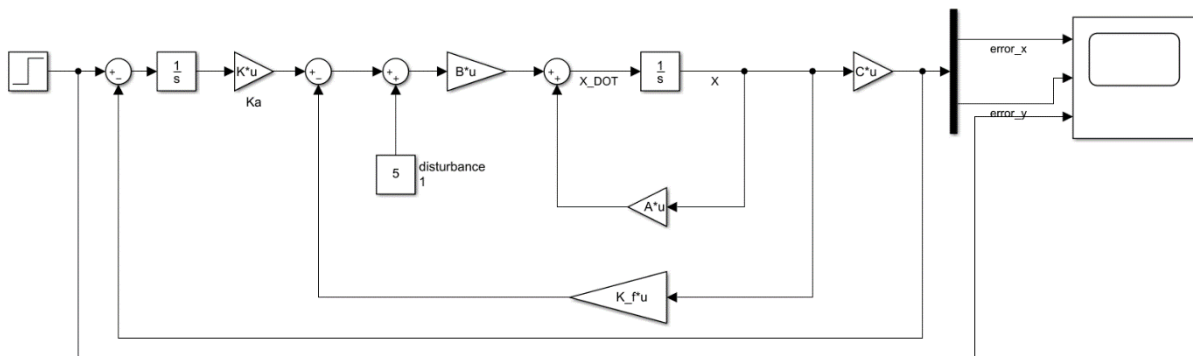
0.1093 -1.1934 -0.0071
0.1167 -1.4132 -0.0182

$K_a =$

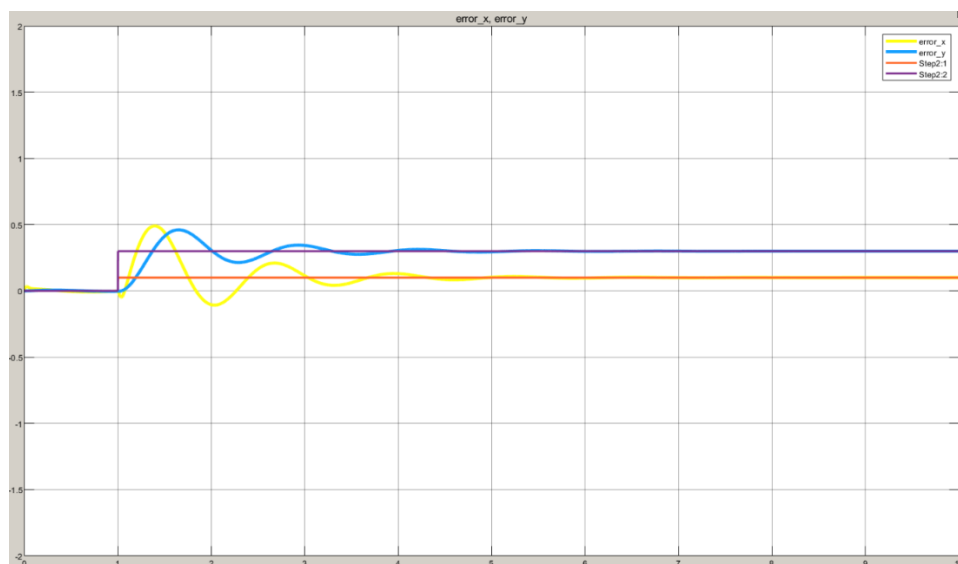
$1.0e+03 *$

3.1616 -2.2756
3.6396 -3.0848

برای شبیه‌سازی مدار زیر در سیمولینک بسته شده است:



خروجی سیستم به ازای ورودی مرجع پله و اغتشاش ثابت:

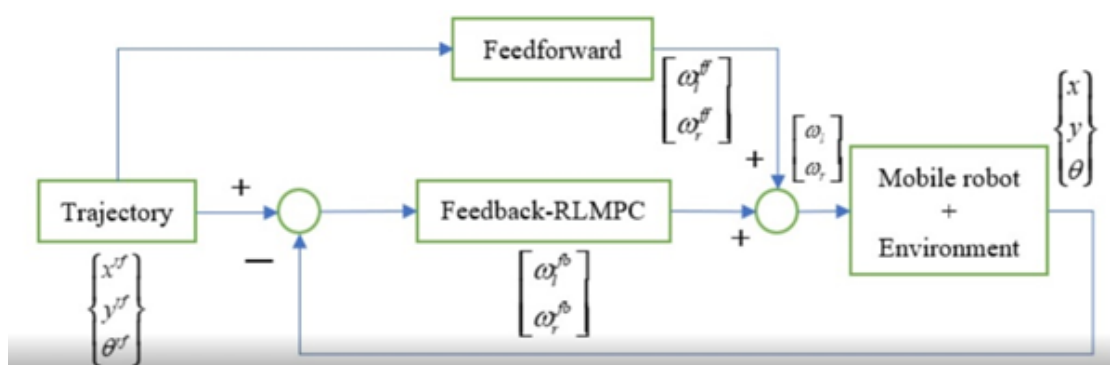


در این حالت مشاهده شد که به ازای ورودی مرجع پله خطا ورودی مرجع را دنبال می‌کند. به همین دلیل نیاز شد که سیستم ارتقا داده شود به طوری که به ازای ورودی مرجع دایره‌های حالت‌های سیستم که همان خطاها هستند به صفر میل کنند.

ارتقا مدل شبیه‌سازی شده سیستم:

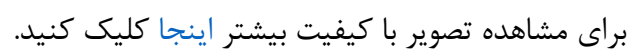
در این بخش، برای مشاهده خروجی شبیه‌سازی شده mobile robot لازم بود به خروجی فعلی سیستم دسترسی داشته باشیم تا با مقایسه آن با مسیر مطلوب که در این پروژه دایره‌ای به شعاع سه متر در نظر گرفته شده است، به بررسی عملکرد سیستم در ردیابی این مسیر بپردازیم. به این منظور مدل فضای حالت که بر اساس خطا حالت‌های سیستم طراحی شده بود را با تغییراتی به مدل واقعی سیستم برای شبیه‌سازی تبدیل کردیم. در این مدل ورودی مرجع همان مسیر دایره‌ای مطلوب است و خروجی‌ها موقعیت فعلی (x و y ربات) می‌باشد که انتظار می‌رود خروجی سیستم هم تقریباً همان مسیر دایره‌ای باشد.

برای رسیدن به هدف مذکور از مدل زیر استفاده شد.

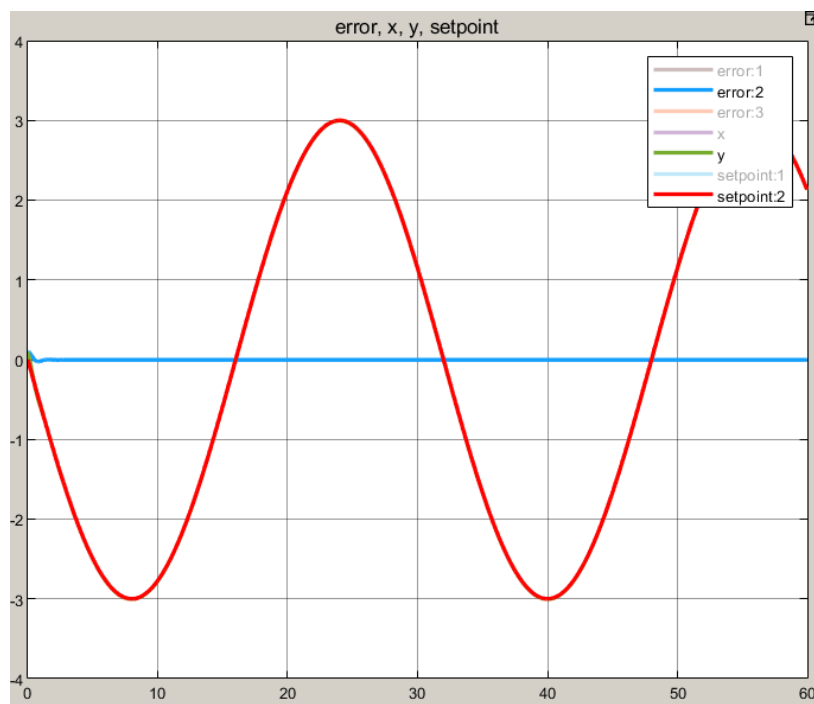


به این منظور یک ترم feedforward که سرعت زاویه‌ای چرخ‌های راست و چپ هستند (در قسمت یک محاسبه شده است) به ورودی سیستم اعمال شد. همچنین خروجی ماتریس حالت سیستم که خطاهای راستای x و y بود با x و y مطلوب که مسیر دایره‌ای را تشکیل می‌دادند جمع شد تا به خروجی‌های فعلی دست یابیم. ورودی مرجع سیستم هم مسیر دایره‌ای مطلوب در نظر گرفته شد.

مدل نهایی به شکل زیر پیاده‌سازی شده است.

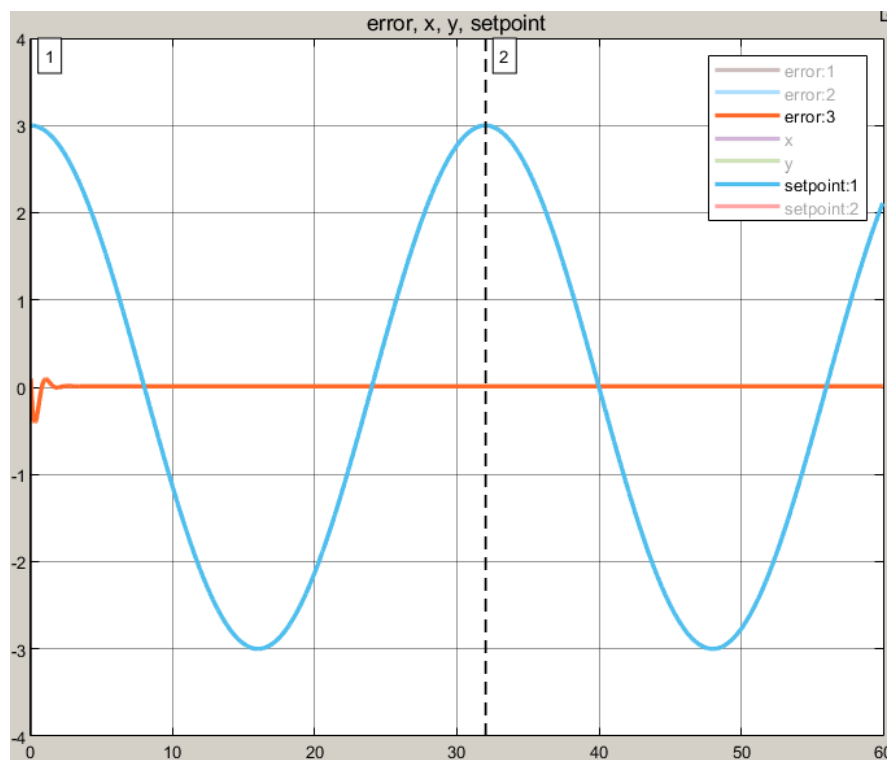


نتیجه خروجی و خطا در راستای y به همراه setpoint در زیر آورده شده است.



تذکر: در نمودار اول سیگنال‌های آبی و بنفش و در نمودار دوم سیگنال‌های قرمز و سبز روی یکدیگر قرار گرفته‌اند که این به معنای ردیابی بسیار خوب سیستم است.

همان‌طور که انتظار می‌رفت با توجه به سرعت زاویه‌ای ربات که برابر $\omega = \frac{\pi}{16}$ می‌باشد، مدت زمان طی کردن یک دور کامل برابر ۳۲ ثانیه می‌باشد.



فاز سوم

طراحی رویتگر مرتبه کامل و رویتگر مرتبه کاهش یافته

برای طراحی رویتگر مرتبه کامل قطب‌های رویتگر دورتر از قطب‌های غالب سیستم در نظر گرفته شده‌اند، تا رویتگر سریع‌تر از سیستم اصلی باشد. بدین منظور قطب‌های آن را در $[-20, -20, -100]$

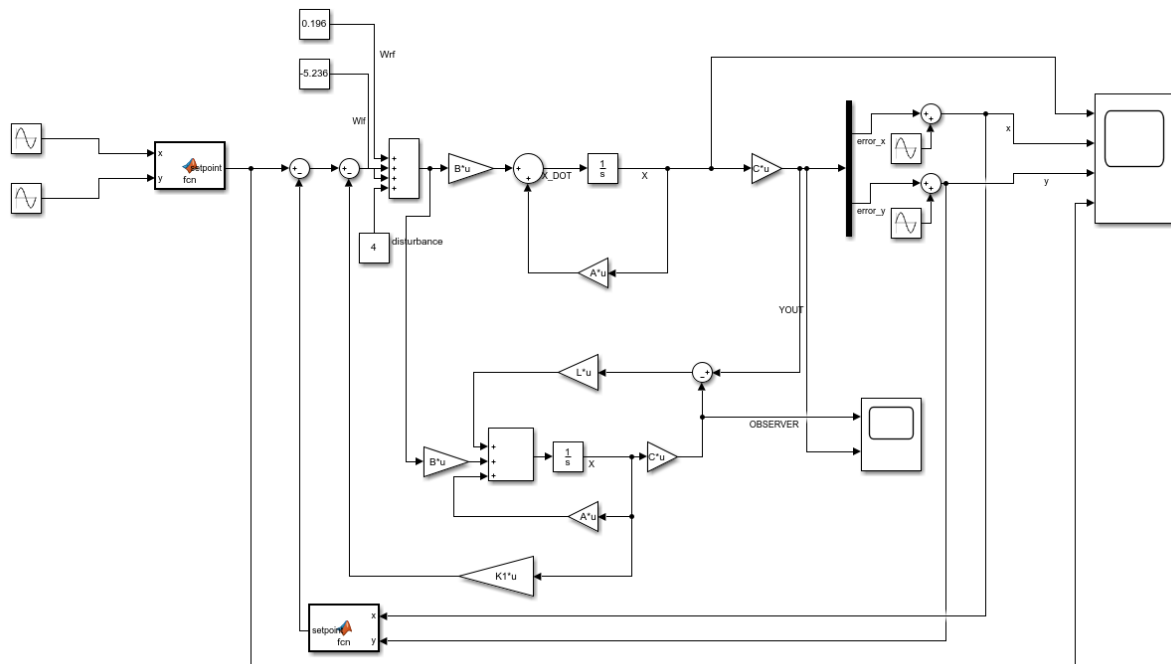
قرار داده شده است. و به شکل زیر در متلب ماتریس L برای رویتگر مرتبه کامل تشکیل داده شده است.

```
%% full-order observer
L = place(A', C', [-20, -20, -100]);
L = L';
```

که در نهایت برای ماتریس L داریم:

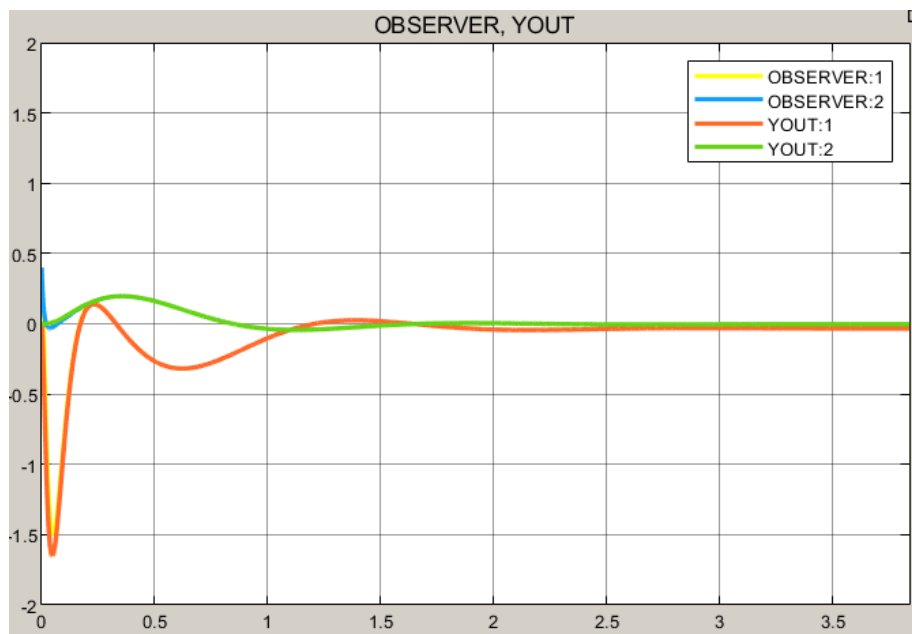
$$L = 10^3 \begin{bmatrix} 0.02 & -0.0002 \\ 0.0002 & 0.12 \\ . & 3.3953 \end{bmatrix}$$

برای شبیه سازی سیستم با رویتگر مرتبه کامل به شکل زیر عمل شده است.



برای مشاهده تصویر با کیفیت بیشتر [اینجا](#) کلیک کنید.

در شکل زیر حالت های تخمین زده شده به همراه حالت های اصلی سیستم قابل مشاهده می باشد.

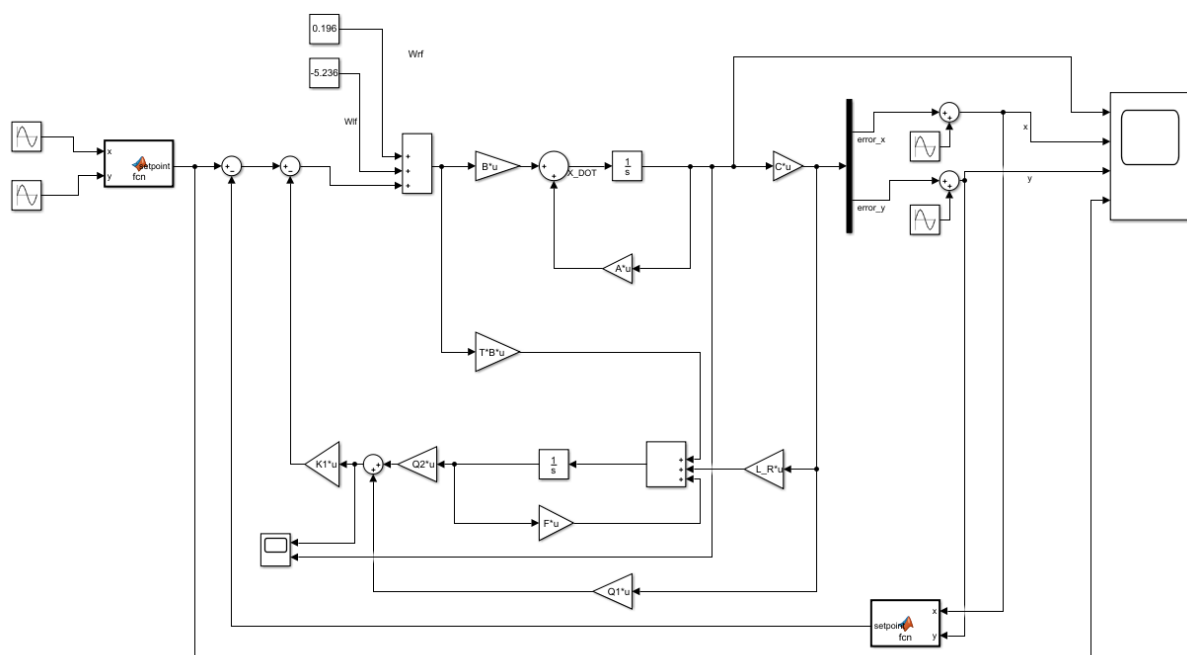


که این نتیجه برای حالتی است که رویتگر شرایط اولیه $[0, 0, 0, 0, 0, 0, 0, 0, 0, 0]$ و سیستم اصلی دارای شرایط اولیه $[0, 1, 0, 1, 0]$ می باشد.

همان طور که قابل مشاهده است با وجود شرایط اولیه نسبتاً متفاوت حالت ها به درستی تخمین زده شده اند.

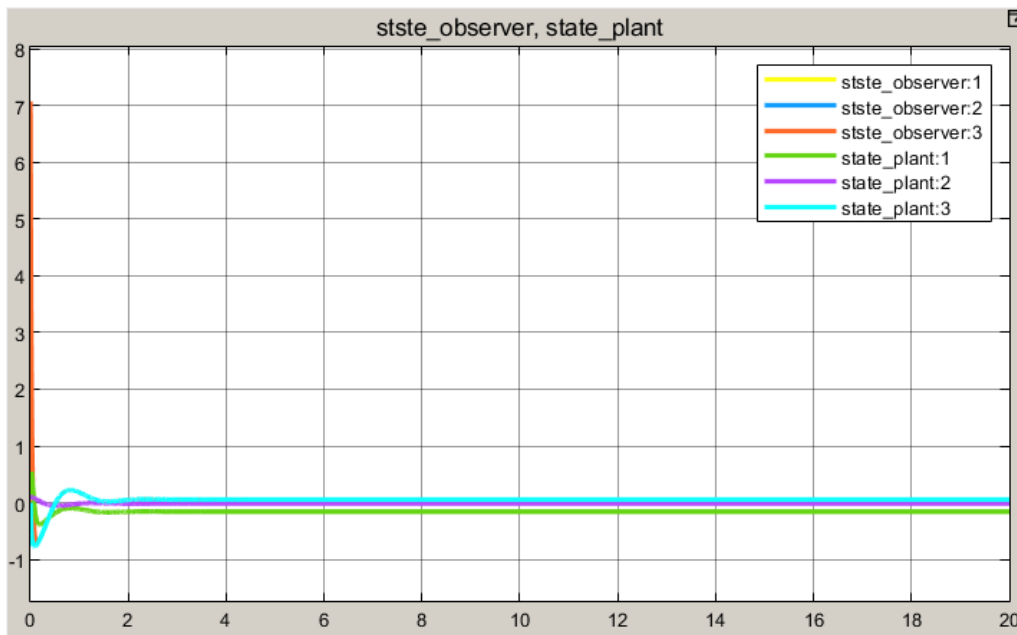
برای طراحی رویترگر مرتبه کاهش یافته فرض شده است که دو حالت سیستم در دسترس هستند و یک حالت سیستم که زاویه می باشد نیاز است توسط رویترگر تخمین زده شود. بدین منظور قطب مطلوب رویترگر در -40 در نظر گرفته شده است. بدین منظور رویترگر مرتبه کاهش یافته به شکل زیر طراحی و در سیمولینک پیاده سازی شده است.

```
%% reduced-order observer
F = -40;
L_R = [1 -400];
T = lyap(-F, A, -L_R*C);
Q = inv([1 0 0; 0 1 0; T]);
Q1 = [1 0; 0 1; -0.5031 67.9061];
Q2 = [0 0 6.7909]';
```



برای مشاهده تصویر با کیفیت بیشتر [اینجا](#) کلیک کنید.

بررسی عملکرد رویتگر کاهش یافته:



همان طور که قابل مشاهده است رویتگر حالت مورد نظر را با دقت خوبی تخمین زده است.

طراحی پیش جبرانساز استاتیکی و دینامیکی با استفاده از حالت های تخمین زده شده توسط رویتگر مرتبه کامل و رویتگر مرتبه کاهش یافته

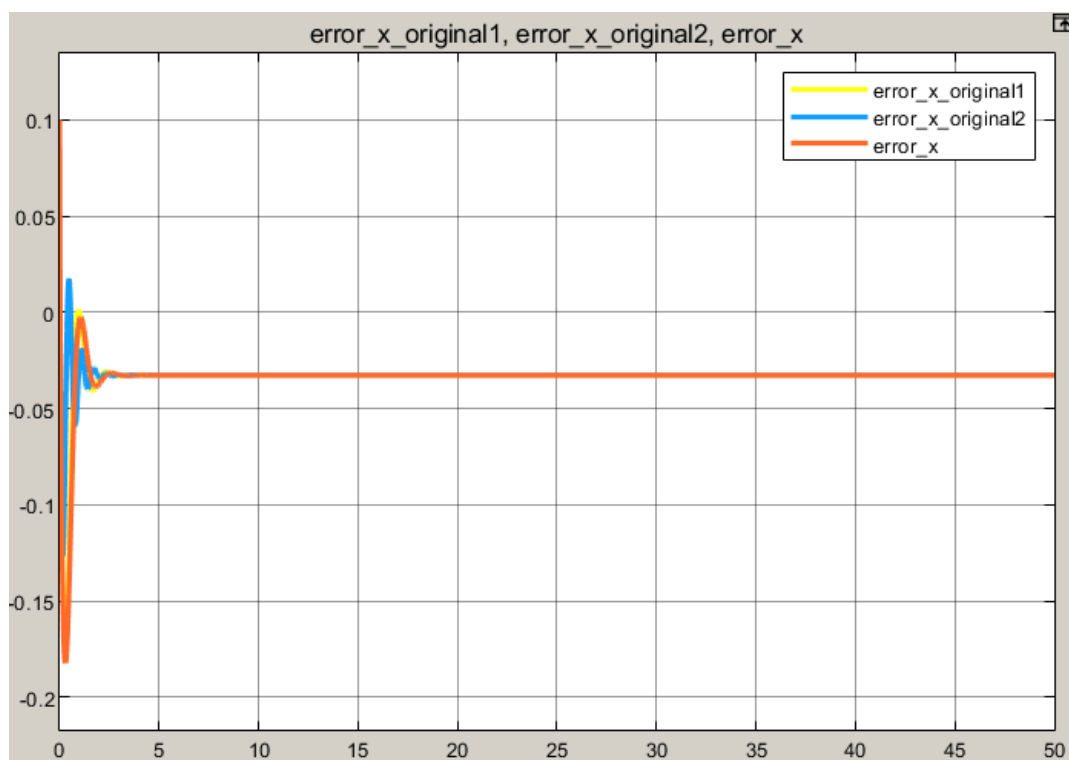
در این بخش پیش جبران ساز استاتیکی طراحی شده در فاز دوم را به هردو سیستم اضافه می کنیم.

سیستم مورد نظر بدون پیش جبران ساز به خوبی و با خطای بسیار نزدیک به صفر ورودی مرجع دایره را ردیابی می کند که این موضوع در حالت داشتن رویتگر مرتبه کامل و مرتبه کاهش یافته نیز صدق می کند.

فاز چهارم:

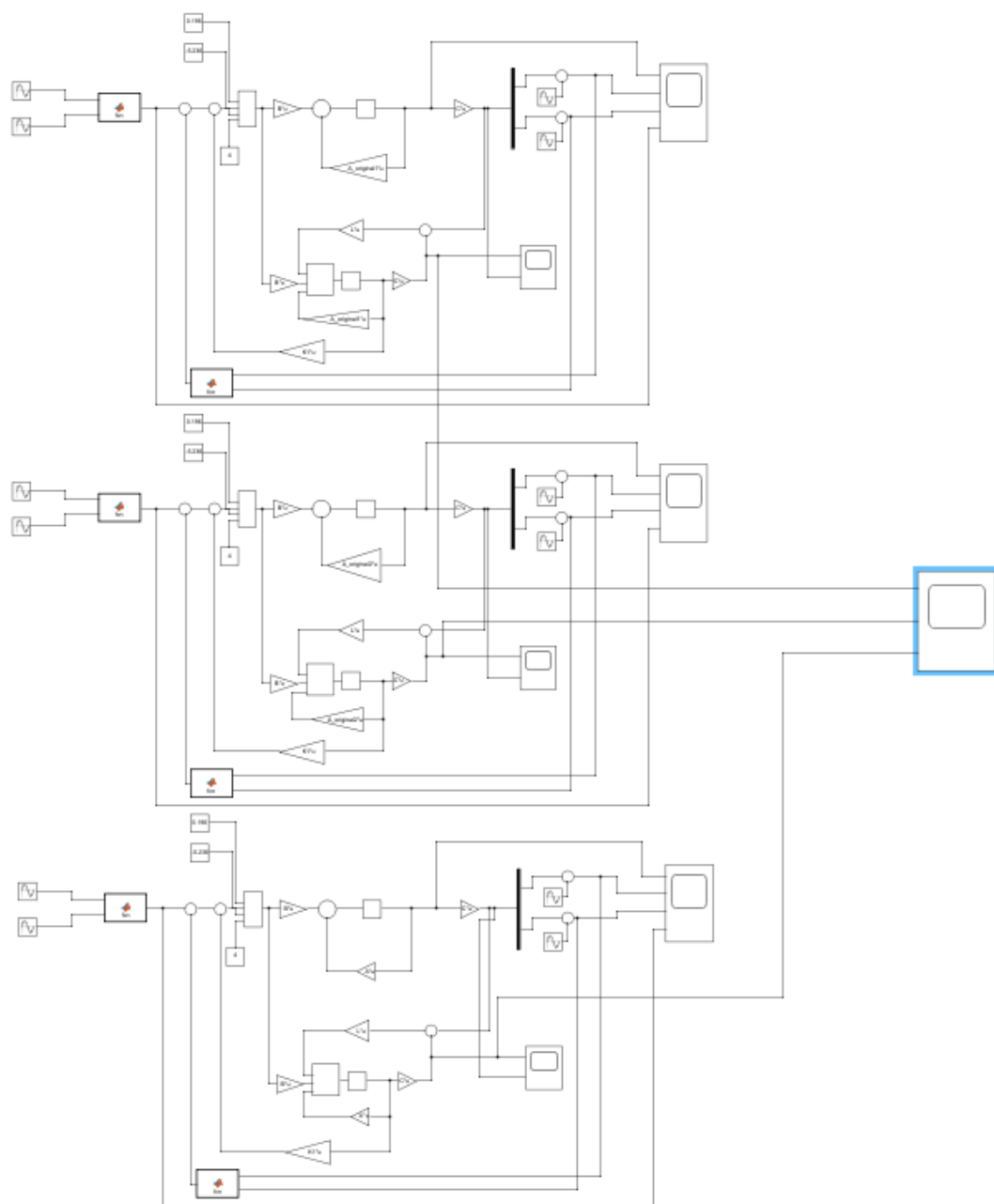
بررسی خطای تخمین حالت در صورت خطا در ماتریس حالت:

برای بررسی تغییرات خروجی در صورت وجود خطا در ماتریس حالت، ماتریس حالت را یک بار ۲۰٪ و یک بار ۴۰٪ تغییر داده‌ایم. تغییرات e_x (یکی از حالت‌های سیستم) را در سه حالت ۲۰٪ تغییر ماتریس A ، ۴۰٪ تغییر ماتریس A و ماتریس بدون خطا را در زیر مشاهده می‌شود.

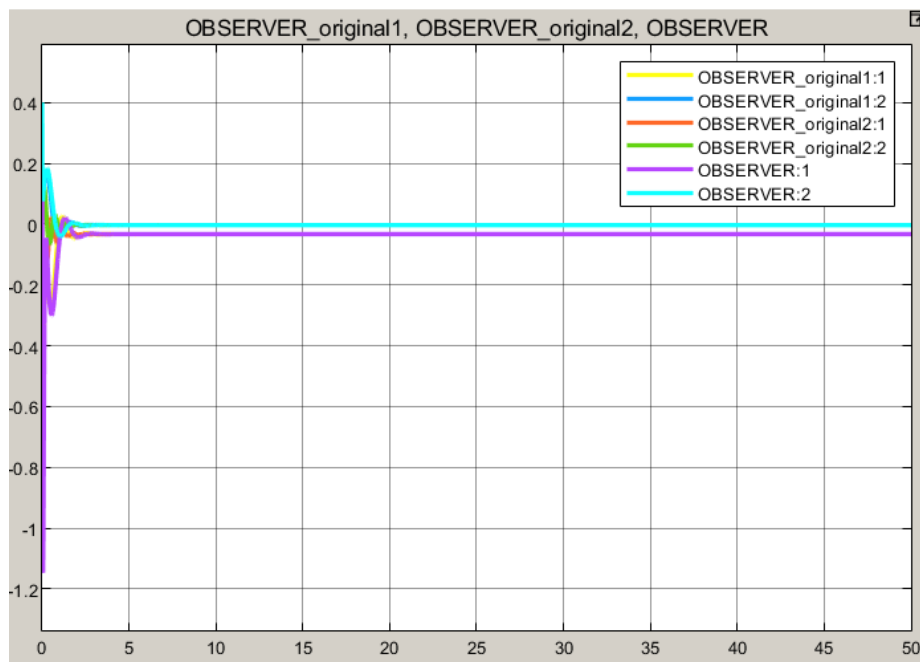


همان‌طور که مشخص است در حالت گذرای سیستم (تقریباً ۲.۵ ثانیه)، خطا در ماتریس حالت باعث خطا در حالت می‌شود ولی در حالت دائم هیچ خطایی مشاهده نمی‌شود و نمودارها بر روی هم قرار گرفته‌اند. که این به دلیل مقاومت بالای سیستم است.

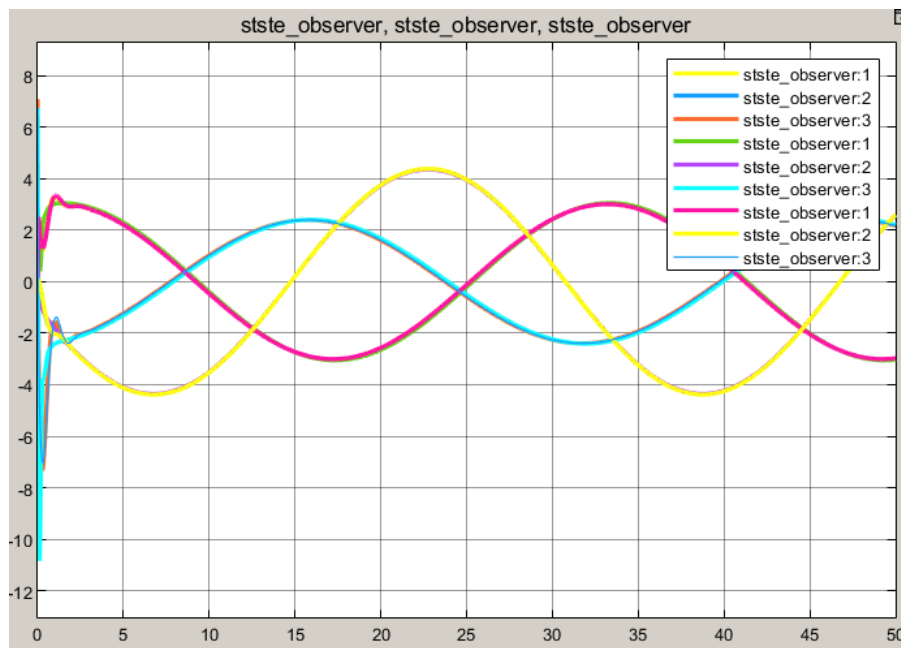
برای محاسبه خطای تخمین در صورت وجود خطا در ماتریس حالت مدار زیر در سیستم بسته شده است:



برای اینکه بتوانیم خطای تخمین را در سه حالت وجود خطا در ماتریس A محاسبه کنیم، مدار بالا بسته شد و نتیجه به صورت زیر است:



در این شکل دو حالت خروجی سیستم را که e_x و e_y می باشند، در سه حالت ماتریس A با تغییرات مذکور در بالا مشاهده می شود. با در نظر گرفتن اینکه ماتریس L در این رویکرد گین بالایی دارد، تخمین حالت ها به خوبی انجام شده است و این باعث شده است که حالت ها حتی با وجود تغییرات ماتریس A روی هم قرار بگیرند. حالت های تخمین زده شده توسط رویکرد مرتبه کاهش یافته در سه حالت ماتریس A ، به صورت زیر است:



همان‌طور که در شکل بالا دیده می‌شود در حالت دائم، نمودار حالت‌ها روی هم قرار گرفته‌اند.

جمع بندی

در این پروژه، سیستم غیرخطی مورد مطالعه را خطی کرده و برای آن معادلات فضای حالت نوشتیم. سیستم پایدار مجانبی و پایدار داخلی نبود اما شرایط پایداری لیاپانوف را ارضا می‌کرد. همه حالت‌ها کنترل پذیر و رویت پذیر بودند در نتیجه سیستم مینیمال بود. برای دستیابی به اهداف کنترلی موردنظر برای سیستم فیدبک حالت طراحی کردیم. پس از ارتقا مدل سیستم دریافتیم خروجی‌ها به خوبی ورودی مرجع را دنبال می‌کنند در نتیجه نیازی به پیش جبران‌ساز دینامیکی برای از بین بردن خطای حالت دائم نبود. با توجه به ماتریس خروجی در نظر گرفته شده دو حالت از سه حالت سیستم در خروجی دیده می‌شد. برای تخمین حالت‌های سیستم رویتگر مرتبه کامل و مرتبه کاهش یافته طراحی کردیم. با توجه به ماتریس‌های به دست آمده حالت‌های به دست آمده توسط رویتگر تخمین مناسبی از حالت‌های سیستم بودند. سیستم در برابر خطای احتمالی ماتریس A تا حد مناسبی مقاوم بود.

مراجع

- [Robust Laguerre based model predictive control of nonholonomic mobile robots under slip conditions](#)

By: Iman sharifi & Elnaz Firouzmand & Marzieh jamalabadi

- [Laguerre based model predictive control for trajectory tracking of nonholonomic mobile robots](#)

By: Masoud hessamian eteffagh

- Gonzalez book